

Поправки к стандартным инфляционным моделям, индуцированные скаляр Гаусса-Бонне

Докладчик: Манучарян Геворг Дереникович

Научный руководитель: Фомин Игорь Владимирович

01

Введение

Почему инфляция?
Какое скалярное поле?

Три вопроса, приводящих к необходимости введения инфляционной парадигмы

1. Почему Вселенная пространственно – плоская?
 2. Чем обусловлена неоднородность распределения первичной материи?
 3. В чем заключается сточник анизотропии реликтового излучения
-

Скалярное поле

Источник ускоренного расширения Вселенной – вакуум! А уравнение состояния этого вакуума имеет вид $p \simeq -w\rho$

Уравнение состояния $p \simeq -w\rho$, следовательно поле скалярное (бозонное), которое неустойчиво из-за вида уравнения состояния

Для предотвращения быстрого распада состояния $p \simeq -w\rho$ предполагается, что существует потенциальный барьер, а поле туннелирует от ложного вакуума к истинному с минимумом потенциала

02

Решение для ОТО

Космологическая модель в рамках ОТО [1/5]

Действие Эйнштейна – Гильберта в системе единиц $8\pi G = c = \hbar = 1$ записывается как

$$S = \int d^4x \sqrt{-g} \left[\frac{1}{2} R - g^{\mu\nu} \frac{1}{2} \partial_\mu \phi \partial_\nu \phi - V(\phi) \right], \quad (1)$$

где g – определитель метрического тензора $g^{\mu\nu}$, R – скалярная кривизна (скаляр Риччи), $V(\phi)$ – потенциал скалярного поля ϕ .

Рассматриваемая метрика – это метрика Фридмана – Робертсона – Уокера, с интервалом между событиями вида

$$ds^2 = -c^2 dt^2 + a^2(t) [dr^2 + r^2 (d\theta^2 + \sin^2 \theta d\phi^2)], \quad (2)$$

где c – скорость света (в выбранной системе единиц равна единице), $a(t)$ – масштабный фактор, определяющий размеры Вселенной.

Космологическая модель в рамках ОТО [2/5]

Для определения динамики скалярного поля, входящего в действие (1), рассматривается система уравнений космологической динамики, получаемая варьированием (1) по полю и метрике:

$$\begin{cases} 3H\dot{\phi} + \ddot{\phi} + V'(\phi) = 0 \\ 3H^2 = \frac{1}{2}\dot{\phi}^2 + V(\phi) \\ -2\dot{H} - 3H^2 = \frac{1}{2}\dot{\phi}^2 - V(\phi) \end{cases} \quad (3)$$

К решению (модели) выдвигаются требования:

- I. Число е-фолдов в интервале значений 50...60,
- II. Две стадии ускоренного расширения Вселенной,
- III. Наблюдательные ограничения на [1]
 - a) Спектральный индекс $n_s = 0.965 \pm 0.004$
 - b) Амплитуду скалярных возмущений $P_S \simeq 2.101 \times 10^{-9}$
 - c) Отношение амплитуд тензорных и скалярных возмущений (тензорно-скалярное отношение) $r < 0.065$

Космологическая модель в рамках ОТО [3/5]

Для аналитического решения системы (3) было предложено рассмотреть форму эволюции скалярного поля от времени вида

$$\phi(t) = -2m \left(t - \frac{1}{m} \right) e^{-bt} + \phi_0, \quad (4)$$

где m, b, ϕ_0 – константы модели, причем $m \cdot b > 0$.

Записанное в соотношении время t и Вселенское время t_U взаимосвязаны как $t = t_U + t_0$, где $t_0 = -1.48$.

(4) и (3) позволяют определить эволюцию параметра Хаббла $H(t)$

$$H(t) = \frac{e^{-2bt} A(t)}{2b} + \frac{2b^2 + 2bm + m^2}{2b}, \quad (5)$$

а также потенциала $V(t)$

$$V(t) = \frac{3(-e^{-2bt} A(t) + 2b^2 + 2bm + m^2)^2}{4b^2} - 2e^{-2bt}(A(t) - 2bm(mt - 1) + m^2), \quad (6)$$

где $A(t) = 2b^2(mt - 1)^2 - 2bm(mt - 1) + m^2$

Космологическая модель в рамках ОТО [4/5]

(4) и (6) позволяют определить вид зависимости потенциала от поля

$$V(\phi) = -\frac{1}{4b^2} \frac{4b^4 \phi^2}{W(p\phi)} + \frac{2b^4 \phi^2}{W^2(p\phi)} + 2b^4 \phi^2 - 3 \left(\frac{b^2 \phi^2 (2W(p\phi) + 1)}{-4W^2(p\phi)} - \frac{b^2}{2} (\phi^2 - 4) + 2bm + m^2 \right)^2, \quad (7)$$

где $p = \frac{be^{b/m}}{2m}$, $\phi = \phi - \phi_0$, W - W -функция Ламберта.

Заметим, что потенциал (7) относится к классу потенциалов с большим полем, поскольку в разложении

$$V(\phi) = V_0 + V_1 \phi + V_2 \phi^2 + V_3 \phi^3 + o(\phi^4)$$

$$V_1 = \frac{1}{8} \phi_0 \left(\frac{4(b^2(10 - 3\phi_0^2) + 6bm + 3m^2)}{W(-p\phi_0)} - \frac{9b^2\phi_0^2 + 3b^2\phi_0^2}{W^2(-p\phi_0)} + b^2(32 - 6\phi_0^2) + 24bm + 12m^2 \right)$$

равно нулю только в тривиальном случае $\phi_0 = 0$.

Космологическая модель в рамках ОТО [5/5]

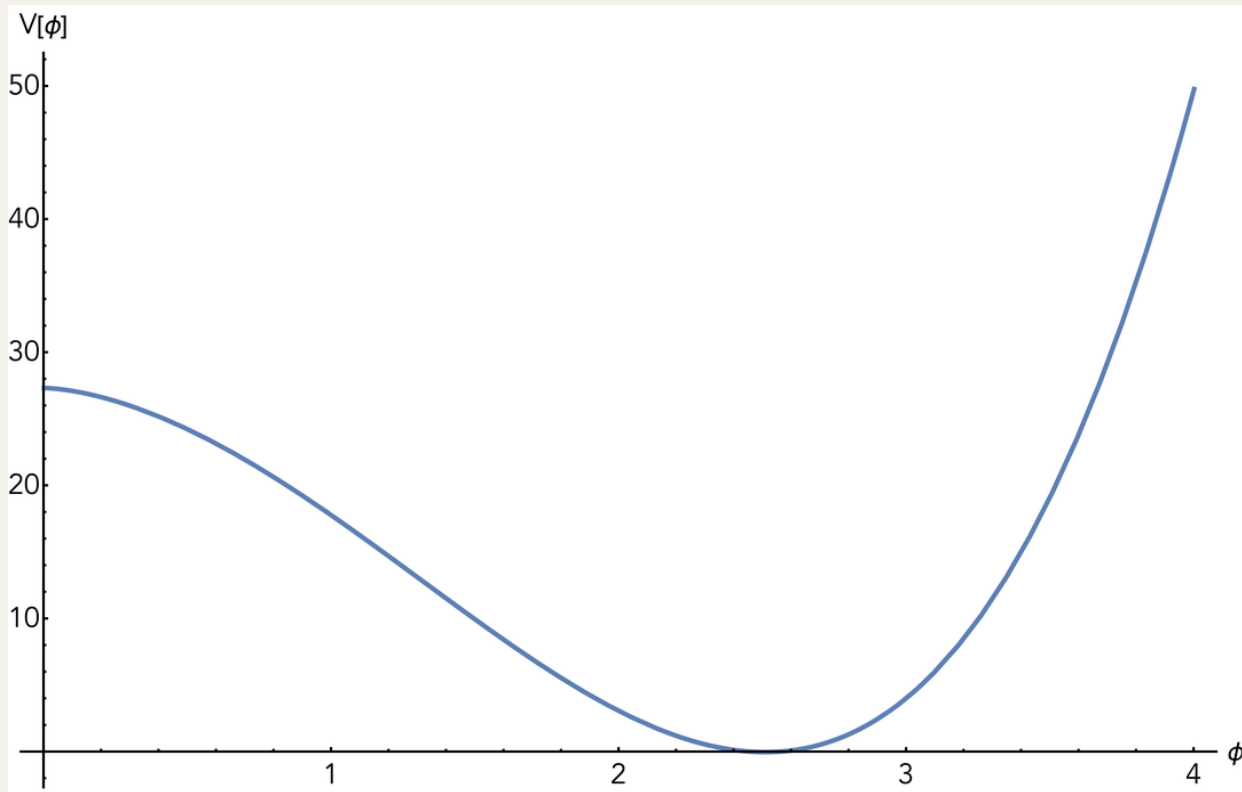


Рис. 1 – Зависимость потенциала от поля с нулевым минимумом

В рамках представленных результатов рассматривается модель с константами модели $m = 1$, $b = 1$, $\phi_0 = 2e^{-2} \approx 0.27$, для которых потенциал имеет отрицательное минимальное значения. Для избежания этого к потенциалу добавляется постоянная величина $V_{add} \equiv V_{add}(m, b, \phi_0)$, которая для записанных выше значений равна $V_{add} = 8.7428$. С учетом этой постоянной добавки вид зависимости потенциала от поля представлена на рис. 1.

Верификация по наблюдательным ограничениям [1/5]

Параметры медленного скатывания определяются как

$$\epsilon(t) = -\frac{\dot{H}(t)}{H^2(t)} = \frac{8b^2 e^{2bt} (b + m - bmt)^2}{K^2(t)}, \quad (8)$$

$$\delta(t) = -\frac{\ddot{H}(t)}{2H(t)\dot{H}(t)} = \frac{2b^2 e^{2bt} (b(mt - 1) - 2m)}{K(t) \cdot (b + m - bmt)}, \quad (9)$$

где

$$\begin{aligned} K(t) &= \\ &= 2b^2(e^{2bt} - (mt - 1)^2) + m^2(e^{2t} - 1) \\ &+ 2bm(e^{2bt} + mt - 1). \end{aligned} \quad (10)$$

Для значений $t \in [0, 1.5]$ из соотношений (8) и (9)

можно приближенно записать

$$5\delta^2 \simeq \epsilon \quad (11)$$

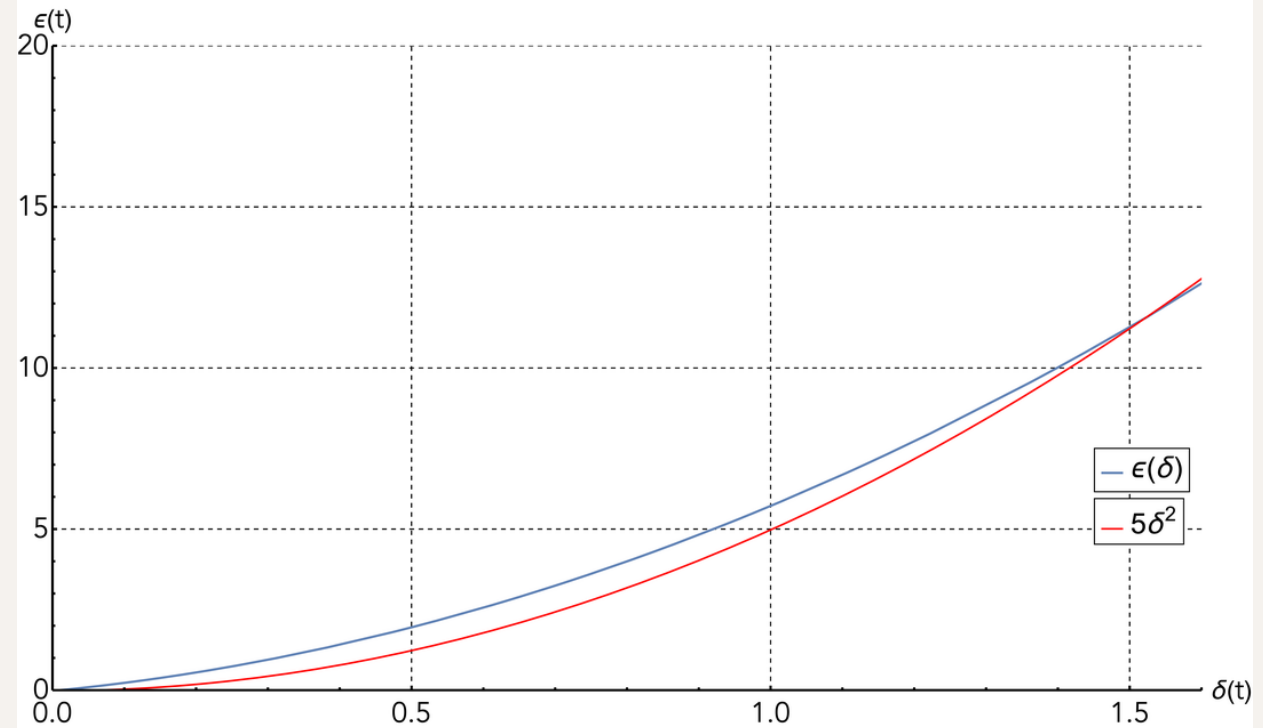


Рис. 2 – Зависимость первых двух параметров медленного скатывания

Верификация по наблюдательным ограничениям [2/5]

Число е-фолдов определяется как

$$\mathcal{N}_f(t) = \int_0^t H(t) dt, \quad (12)$$

спектральный индекс скалярных возмущений

$$n_s - 1 = 2(\delta - 2\epsilon), \quad (13)$$

амплитуда скалярных возмущений

$$\mathcal{P}_S = \frac{1}{2\epsilon} \left(\frac{H}{2\pi} \right)^2, \quad (14)$$

тензорно - скалярное отношение

$$r \equiv \frac{\mathcal{P}_T}{\mathcal{P}_S} = 16\epsilon, \quad (15)$$

Верификация по наблюдательным ограничениям [3/5]

Выход из инфляции происходит при значении первого параметра медленного скатывания $\epsilon = 1$ в момент времени t_{exit} .

Число е-фолдов в на выходе из инфляции ($m = 1, b = 1$):

$$\mathcal{N}_f(t_{exit}) = \int_0^{t_{exit}} \frac{e^{-2bt} A(t)}{2b} + \frac{2b^2 + 2bm + m^2}{2b} dt \simeq 59. \quad (16)$$

Амплитуда скалярных возмущений при значении числа е-фолдов $\mathcal{N}_f(t_H) \simeq 60$:

$$\mathcal{P}_S = \frac{1}{2\epsilon} \left(\frac{H}{2\pi} \right)^2 \Big|_{t=t_H} \simeq 2.101 \times 10^{-9}. \quad (17)$$

Заметим, что $t_{exit} \sim t_H$.

Верификация по наблюдательным ограничениям [4/5]

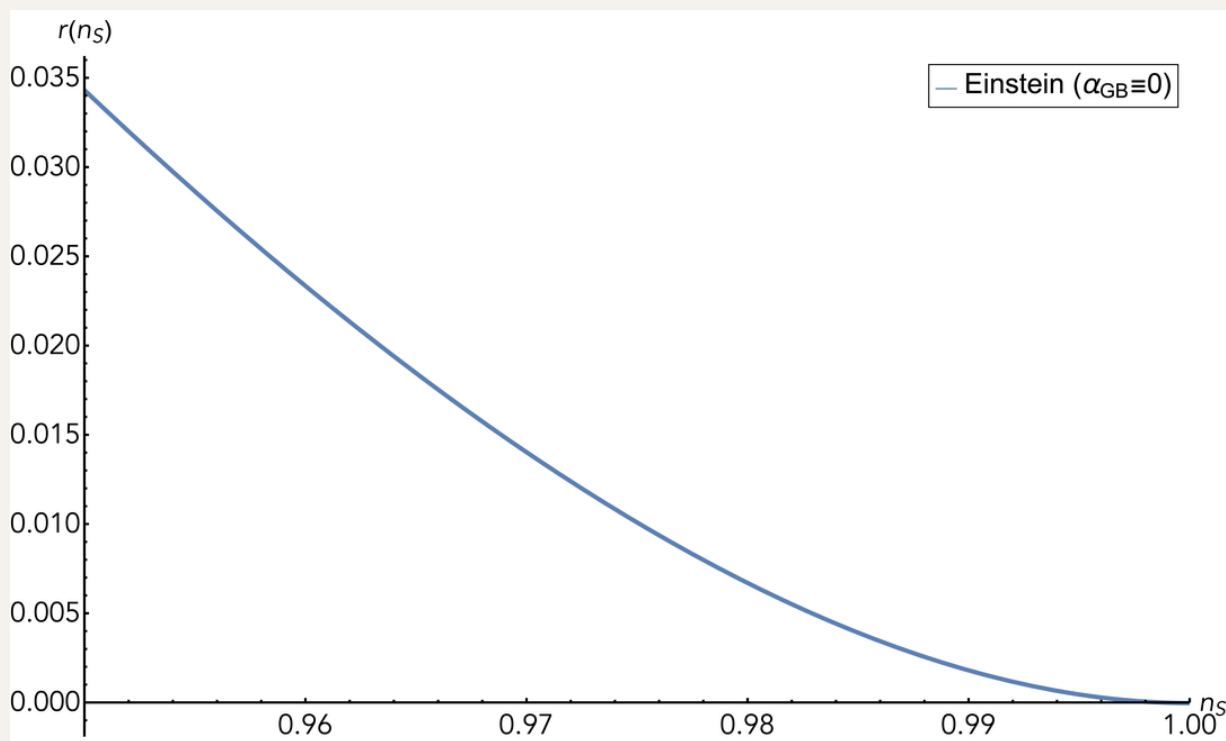


Рис. 3 – Зависимость тензорно-скалярного отношения от спектрального индекса скалярных возмущений

Из соотношений (11), (13) и (15) можно восстановить форму зависимости тензорно-скалярного отношения от наклона спектра скалярных возмущений $r(n_s)$:

$$r(n_s) = \frac{2}{5} \left(-\sqrt{21 - 20n_s} - 10n_s + 11 \right) \quad (18)$$

Верификация по наблюдательным ограничениям [5/5]

Масштабный фактор $a(t)$ для настоящей модели:

$$a(t) = e^{-\frac{(2b^2+2bm+m^2)t}{2b} + \frac{m^2-2b^2(mt-1)^2}{4b^2}} e^{-2bt}, \quad (19)$$

откуда для относительного ускорения, определенного как

$$Q \equiv \frac{\ddot{a}(t)}{a(t)} = H^2 + \dot{H}, \quad (20)$$

в интервалах времен $t_1 \rightarrow \mathcal{N}_f(t_1) \simeq 59.06$ и $t_2 \rightarrow \mathcal{N}_f(t_2) \simeq 59.39$ получаем замедленное ускорение Вселенной, а вне этого интервала – две эпохи ускоренного расширения, причем во время инфляции темп расширения много больше постинфляционного расширения.

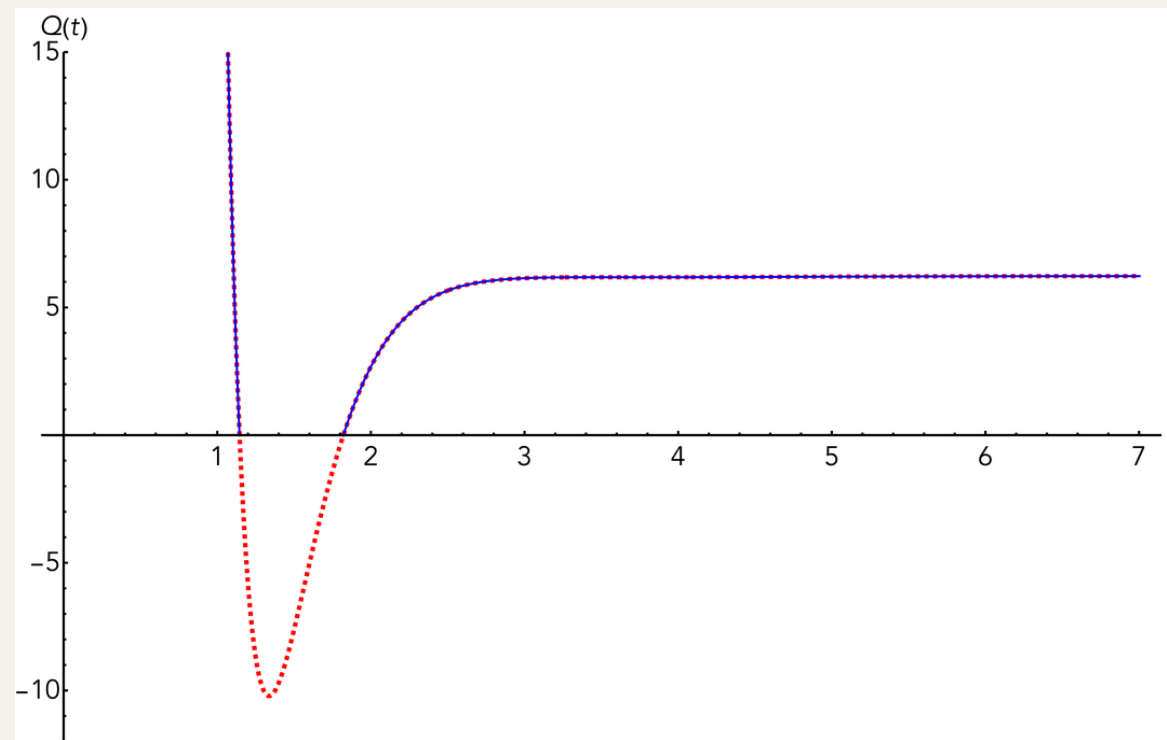


Рис. 4 – Зависимость относительного ускорения от времени. Красная линия указывает период замедленного расширения Вселенной

03

Учет скаляра Гаусса-Бонне

Космологическая модель в рамках ЭГБ гравитации [1/5]

Рассматриваемое действие в системе единиц $8\pi G = c = \hbar = 1$ в метрике ФРУ записывается как

$$S = \int d^4x \sqrt{-g} \left[\frac{1}{2} R - g^{\mu\nu} \frac{1}{2} \partial_\mu \phi_{GB} \partial_\nu \phi_{GB} - V_{GB}(\phi_{GB}) - \frac{1}{2} \xi(\phi_{GB}) R_{GB}^2 \right], \quad (21)$$

где ξ — функция неминимального взаимодействия скалярного поля и скаляра Гаусса – Бонне R_{GB} , определяемая как

$$R_{GB}^2 = R^2 - 4R_{\mu\nu}R^{\mu\nu} + R_{\mu\nu\rho\sigma}R^{\mu\nu\rho\sigma}. \quad (22)$$

Система уравнений космологической динамики в таком случае

$$\left\{ \begin{array}{l} 3H_{GB}^2 = \frac{1}{2} \dot{\phi}_{GB}^2 + V_{GB} + 12\xi H_{GB}^2 \\ \ddot{\phi}_{GB} = -2\dot{H}_{GB} + 4\ddot{\xi} H_{GB}^2 + 4\dot{\xi} H_{GB} (2\dot{H}_{GB} - H_{GB}^2) \\ \ddot{\phi}_{GB} + 3H_{GB}\dot{\phi}_{GB} + \frac{\partial V_{GB}(\phi_{GB})}{\partial \phi_{GB}} + 12H_{GB}^2 (\dot{H}_{GB} + H_{GB}^2) \frac{\partial \xi(\phi_{GB})}{\partial \phi_{GB}} = 0 \end{array} \right. \quad (23)$$

Космологическая модель в рамках ЭГБ гравитации [2/5]

Для учета зависимости скорости распространения реликтовых гравитационных волн от космического времени и параметров космологической модели (подробнее в работе [2]) рассматривается модель (24)-(27), предложенная в работе [3], для учета как зависимости скорости распространения гравитационных волн от времени, так и для соответствия по наблюдательным ограничениям I-III:

$$V_{GB} = V_E - \alpha_{GB} \dot{H}_E, \quad (24)$$

$$H_{GB} = H_E(1 + \alpha_{GB} \epsilon_E), \quad (25)$$

$$\phi_{GB} = \phi_E \sqrt{1 - \alpha_{GB}}, \quad (26)$$

$$\xi_{GB} = \frac{\alpha_{GB}}{4H_E^2(\phi_{GB})} + \xi_0. \quad (27)$$

Космологическая модель в рамках ЭГБ гравитации [3/5]

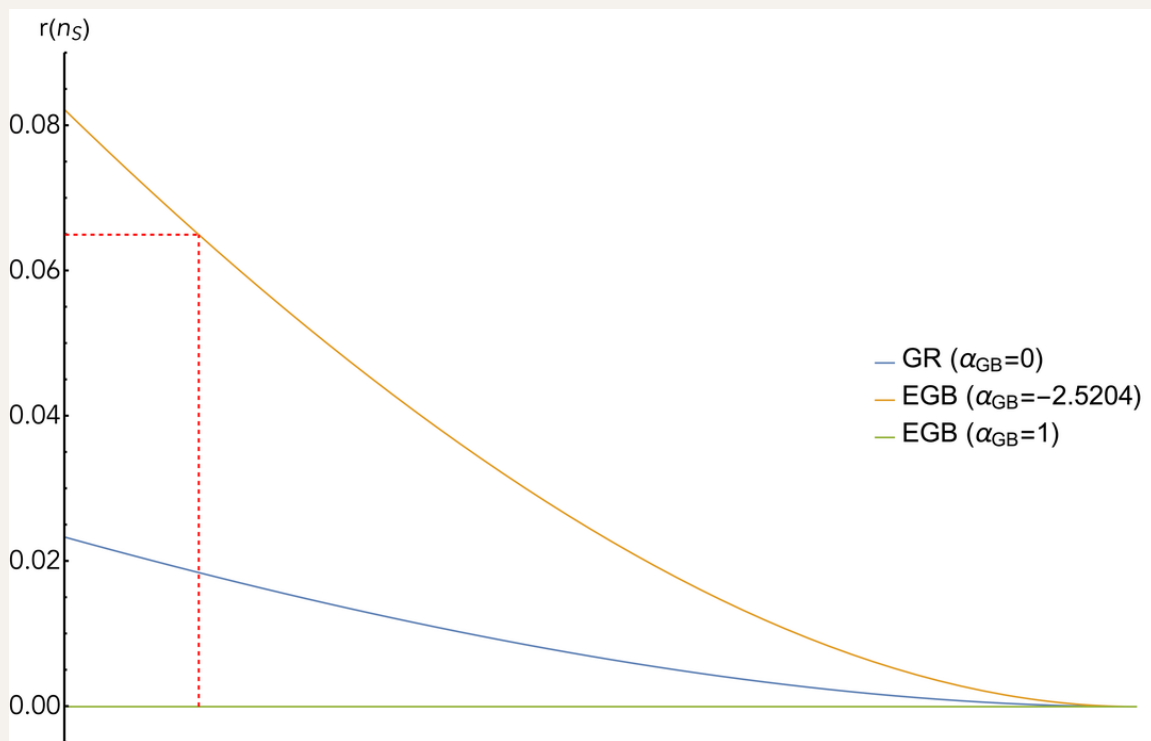


Рис. 5 – Зависимость тензорно-скалярного отношения от спектрального индекса скалярных возмущений для предельных значений константы неминимальной связи и для ОТО

Спектральный индекс скалярных возмущений в случае

гравитации ЭГБ можно записать как

$$n_{S(GB)} - 1 = 2(\delta - 2\epsilon) = n_{S(E)}, \quad (28)$$

а тензорно – скалярное отношение имеет вид

$$r_{GB} = 16(1 - \alpha_{GB})\epsilon_E = (1 - \alpha_{GB})r_E, \quad (29)$$

откуда можно записать

$$r(n_s) = \frac{2}{3} \left(-\sqrt{21 - 20n_s} - 10n_s + 11 \right) (1 - \alpha_{GB}), \quad (30)$$

что в свою очередь дает ограничение на константу

неминимального взаимодействия α_{GB} с учетом Шс:

$$\alpha_{GB} \in (-2.5204, 1) \quad (31)$$

Космологическая модель в рамках ЭГБ гравитации [4/5]

Функция неминимальной связи, определенная как (27), имеет вид

$$\xi(\phi_{GB}) = \frac{\alpha_{GB} b^2}{\left(2b^2 + 2bm + m^2 - e^{-\frac{2b}{m} + 2W(p\phi_{GB})} m^2 (1 + 2W(p\phi_{GB})(1 + W(p\phi_{GB})))\right)^2}, \quad (32)$$

где

$$\phi_{GB} = \frac{\phi}{\sqrt{1 - \alpha_{GB}}} - \phi_0$$

Космологическая модель в рамках ЭГБ гравитации [5/5]

- Квантовые поправки к ОТО приводят к изменению параметров космологических возмущений, что позволяет оценить характерный параметр теории – константу неминимальной связи скалярного поля и ГБ-скаляра
- При значении $\phi_{GB} = 1$ имеем

$$\left| \frac{\xi(\phi_{GB})}{V_{GB}(\phi_{GB})} \right| \approx 0.013506, \quad (33)$$

что задает максимальное отклонение от классической теории гравитационного поля в рассматриваемой модели. Заметим, что малость записанной величины указывает, что квантовые поправки, индуцированные учетом неминимального взаимодействия скаляра Гаусса – Бонне и скалярного поля, малы для влияния на космологическую динамику, но оказывают существенное влияние на амплитуду гравитационных волн.

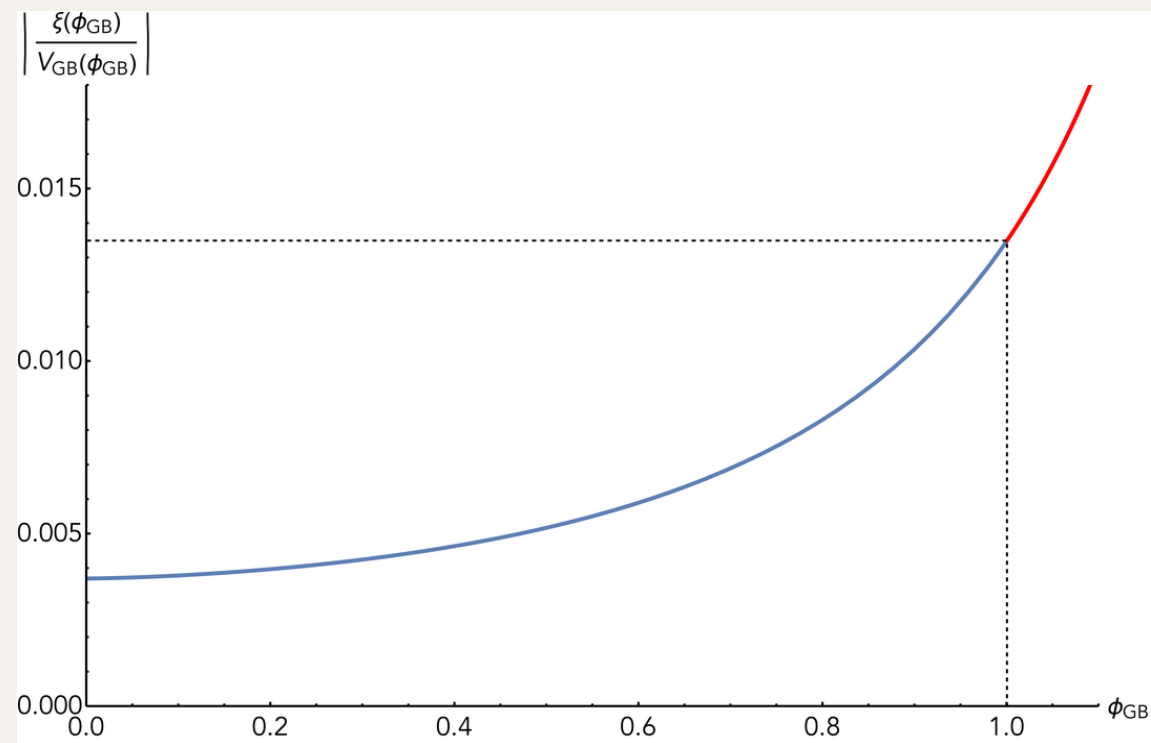


Рис. 6 – Зависимость отношения функции неминимальной связи скаляра Гаусса – Бонне и потенциала скалярного поля для константы неминимальной связи $\alpha_{GB} = -2.5204$. Красной линией указано аналитическое продолжение отношения $\left| \frac{\xi(\phi_{GB})}{V_{GB}(\phi_{GB})} \right|$ для значений поля $\phi_{GB} > 1$

Заключение

- Рассматриваемая модель удовлетворяет наблюдательным ограничениям по величине тензорно-скалярного отношения, амплитуде скалярных возмущений реликтового фона и темпу ускоренного расширения Вселенной

- Число e -фолдов при выходе из инфляции составляет величину порядка

$$\mathcal{N}_f(t_{exit}) \simeq 59$$

- Константа неминимального взаимодействия ограничена в диапазоне

$$\alpha_{GB} \in (-2.5204, 1)$$

- Установлено, что для настоящей модели максимальное отклонение от классической теории гравитационного поля характеризуется величиной, порядка

$$\left| \frac{\xi(\phi_{GB})}{V_{GB}(\phi_{GB})} \right|_{\phi_{GB}=1} \simeq 0.013506$$

Спасибо за внимание!
